

مدل‌های تحصیل خروجی متمرکز و تخصیص ورودی متمرکز در تحلیل پوششی داده‌ها

مهری طلوع^۱، سمانه جوشقانی^۲

چکیده: در حالی که مدل‌های متداول تحلیل پوششی داده‌ها اهداف جداگانه‌ای را برای هر واحد تصمیم‌گیری قرار می‌دهند، مدلی با عنوان مدل تخصیص ورودی متمرکز ارایه شده است که در آن یک تصمیم‌گیرنده‌ی متمرکز وجود دارد که به همه‌ی واحدهای در حال فعالیت نظارت می‌کند. هدف اصلی در این مدل، بهینه‌سازی مجموع مصرف ورودی و مجموع تولید خروجی است. در این مقاله ابتدا مدل تحصیل خروجی متمرکز بیان می‌شود که به بهینه‌سازی مجموع تولید خروجی می‌پردازد. سپس در ادامه مدلی با ترکیب مدل‌های تخصیص ورودی متمرکز و تحصیل خروجی متمرکز پیشنهاد می‌شود. همچنین در انتها مثال‌هایی برای نتایج این مدل‌ها ارایه می‌شوند.



واژه‌های کلیدی: تخصیص ورودی متمرکز، تحصیل خروجی متمرکز، کارایی، تحلیل پوششی داده‌ها، مدل شعاعی.

۱. استادیار دانشگاه آزاد واحد تهران مرکزی، ایران

۲. کارشناس ارشد ریاضی کاربردی دانشگاه آزاد تهران مرکزی، ایران

تاریخ دریافت مقاله: ۸۹/۴/۱۳

تاریخ پذیرش نهایی مقاله: ۸۹/۸/۳۰

نویسنده مسئول مقاله: مهری طلوع

Email: m_toloo@yahoo.com

مقدمه

فارل [۳] برای نخستین بار در سال ۱۹۵۷ روش‌های غیرپارامتری را برای تعیین کارایی مطرح کرد. مقاله‌ی فارل [۳] در سال ۱۹۷۸ اساس کار مقاله‌ی چارنز و کوپر و رودز [۲] قرار گرفت و به مقاله‌ی CCR معروف است. پس از آن بنکر و چارنز و کوپر [۱] مدل BCC را ارایه کردند. این دو مقاله پایه‌ی بسیاری از مطالعات تحلیلی کارایی شدن و این شاخه از علم پژوهش در عملیات به سرعت پیشرفت کرد و تحت عنوان تحلیل پوششی داده‌ها نامیده شد. تحلیل پوششی داده‌ها (DEA) برای اندازه‌گیری کارایی یک تعداد از واحدهای در حال فعالیت مشابه استفاده می‌شود که این واحدهای در حال فعالیت را واحدهای تصمیم‌گیری (DMU^۱) می‌نامند. در DEA عموماً برای ارزیابی کارایی هر DMU از مدل‌های جداگانه‌ای استفاده می‌شود. در نتیجه در تحلیل کارایی، هر یک از DMU‌ها به طور جداگانه بر روی مرز کارا تصویر می‌شوند.

در عمل شرایطی می‌تواند وجود داشته باشد که در آن‌ها همه‌ی DMU‌ها تحت یک تصمیم‌گیرنده‌ی (DM²) متمرکز قرار گیرند، یعنی یک DM متمرکز وجود دارد که به همه‌ی واحدهای در حال فعالیت نظارت می‌کند. این شرایط زمانی اتفاق می‌افتد که همه‌ی DMU‌ها متعلق به سازمان یکسانی (خصوصی یا عمومی) باشند. تعداد زیادی از کابردهای DEA مانند شعبه‌های بانک، بیمارستان‌ها، بخش‌های دانشگاهی، مدارس وغیره می‌تواند در این رده قرار گیرند.

از آنجاکه مدل‌های متداول DEA، مجموع مصرف ورودی و مجموع تولید خروجی را بررسی نمی‌کنند، مدل‌هایی تحت عنوان مدل‌های متمرکز مطرح شده‌اند که به بررسی مجموع مصرف ورودی و یا مجموع تولید خروجی می‌پردازن. به عنوان نمونه گالنی و همکاران [۵] مدلی را با عنوان مدل تخصیص منبع متمرکز پایه‌ای DEA در ماهیت ورودی ارایه کرده‌اند. در این مدل صرف نظر از ابتکاری بودن تابع هدف و اینکه اهداف خروجی بررسی نمی‌شوند، مدل می‌تواند همه‌ی مقدار موجود یک ورودی را تنها به یک DMU، بدون محدودیتی بر روی تغییرات مصرف منبع هر DMU اختصاص دهد. همچنین گالنی و

-
1. Decision Making Unit
 2. Decision Maker

تامیر [۴] مدل تخصیص منبع مت مرکز در ماهیت خروجی را مطرح کرده‌اند که در این مدل کران‌های بالا بر روی مجموع مصرف ورودی واحدهای مورد هدف، اعمال می‌شوند. اگرچه این مدل به اندازه‌ی کافی انعطاف پذیر است؛ ولی نسبتاً پیچیده است.

لوزانو و ویلا [۶] مدلی را با عنوان تخصیص ورودی مت مرکز ارایه کرده‌اند که در این مدل، DM متمرکز به بهینه‌سازی مجموع مصرف ورودی می‌پردازد. در این مدل تضمین می‌شود، مجموع تولید خروجی کاهش نمی‌یابد. در تحلیل تخصیص ورودی مت مرکز همه‌ی واحدهای بر روی مرز کارا به همان شکلی که در مدل‌های متداول DEA هستند، تصویر می‌شوند اما این روند در یک روش یکپارچه به جای شیوه‌های مجزا انجام می‌شود. به عبارت دیگر، در مدل مت مرکز تنها از یک مدل برنامه‌ریزی خطی برای تصویر کردن همه‌ی DMU‌ها به طور همزمان بر روی مرز کارا استفاده می‌شود، در صورتی که در مدل‌های متداول DEA برای هر DMU یک مدل جداگانه‌ای به کار می‌رود و هر DMU به طور جداگانه بر روی مرز کارا تصویر می‌شود. در مقاله‌ی لوزانو و ویلا [۶] دو مدل تخصیص ورودی مت مرکز شعاعی و غیرشعاعی ارایه شده است. در این مدل‌ها تخصیص هر چه کمتر ورودی‌ها مطلوب است در حالی که تحصیل هر چه بیشتر خروجی‌ها نیز می‌تواند حاصل شود. هدف نخست این مقاله ارایه‌ی مدلی برای تحصیل خروجی مت مرکز در ماهیت‌های شعاعی و غیرشعاعی و بررسی ویژگی‌های مهم آن است. در ادامه مدل لوزانو و ویلا [۶] با مدل پیشنهادی تحصیل خروجی مت مرکز ترکیب شده، که در آن به طور همزمان مجموع مصرف ورودی مینیمم و مجموع تولید خروجی ماکزیمم می‌شوند. در انتها این مدل‌ها روی مثال‌های عددی اجرا شده و نتایج بررسی می‌شوند.

مدل تخصیص ورودی مت مرکز شعاعی

مدل تخصیص ورودی مت مرکز شعاعی (لوزانو و ویلا) شامل دو فاز است. در اولین فاز یک کاهش متناسب برای همه‌ی ورودی‌ها جستجو می‌شود و در فاز دوم کاهش بیشتر هر ورودی و یا افزایش هر خروجی دنبال می‌شود.

فرض کنید $n, l = 1, 2, \dots, m$ اندیس DMU‌ها، $i = 1, 2, \dots, s$ اندیس ورودی‌ها، x_{ij} مقدار ورودی i ام مصرف شده و y_{lj} مقدار خروجی j ام تولید شده توسط r DMU، θ عامل کاهش شعاعی دست‌یافتنی برای ورودی‌ها، s_i متغیر کمبود ورودی i ام، t_r متغیر مازاد خروجی r ام و $(\lambda_{nl}, \lambda_{rl}, \dots, \lambda_{1l})$

بردار مربوط به تصویر کردن DMU باشند. مدل فاز اول تخصیص ورودی متمرکز شعاعی به صورت زیر است:

$$\begin{aligned}
 & \min \quad \theta \\
 \text{s.t.} \quad & \sum_{l=1}^n \sum_{j=1}^n \lambda_{jl} x_{ij} \leq \theta \sum_{j=1}^n x_{ij}, \quad i = 1, \dots, m \\
 & \sum_{l=1}^n \sum_{j=1}^n \lambda_{jl} y_{rj} \geq \sum_{j=1}^n y_{rj}, \quad r = 1, \dots, s \\
 & \sum_{j=1}^n \lambda_{jl} = 1, \quad l = 1, \dots, n \\
 & \lambda_{jl} \geq 0, \quad j = 1, \dots, n, l = 1, \dots, n \\
 & \theta \text{ free}.
 \end{aligned} \tag{1}$$

مدل (۱)، دارای $n+1$ متغیر و $m+s+n$ محدودیت است. برای برخی ورودی‌ها و خروجی‌ها، به ترتیب کاهش و افزایش بیشتر، معمولاً امکان پذیر است که آن‌ها این مقادیر را در متغیرهای کمبود ورودی و مازاد خروجی متناظر مدل فاز دوم می‌گیرند. فرض کنیم θ^* مقدار بهینه‌ی مدل (۱) باشد، در این صورت فاز دوم مدل تخصیص ورودی متمرکز شعاعی به شکل زیر است:

$$\begin{aligned}
 & \max \quad \sum_{i=1}^m s_i + \sum_{r=1}^s t_r \\
 \text{s.t.} \quad & \sum_{l=1}^n \sum_{j=1}^n \lambda_{jl} x_{ij} = \theta^* \sum_{j=1}^n x_{ij} - s_i, \quad i = 1, \dots, m \\
 & \sum_{l=1}^n \sum_{j=1}^n \lambda_{jl} y_{rj} = \sum_{j=1}^n y_{rj} + t_r, \quad r = 1, \dots, s \\
 & \sum_{j=1}^n \lambda_{jl} = 1, \quad l = 1, \dots, n \\
 & \lambda_{jl} \geq 0, \quad j = 1, \dots, n, l = 1, \dots, n \\
 & s_i \geq 0, \quad i = 1, \dots, m \\
 & t_r \geq 0, \quad r = 1, \dots, s.
 \end{aligned} \tag{2}$$

با حل مدل فاز دوم، بردار $(\lambda_{nl}^*, \lambda_{l1}^*, \dots, \lambda_{ln}^*)$ متناظر با هر DMU_l ، تعریف می‌شود.
ورودی‌ها و خروجی‌ها برای چنین واحدهایی به صورت زیر محاسبه می‌شوند:

$$\hat{x}_{il} = \sum_{j=1}^n \lambda_{jl}^* x_{ij}, \quad i = 1, \dots, m$$

$$\hat{y}_{rl} = \sum_{j=1}^n \lambda_{jl}^* y_{rj}, \quad r = 1, \dots, s.$$

قضیه‌ی زیر که توسط لوزانو و ویلا [۶] اثبات شده است، پاراتو کارا بودن نقاط تصویر حاصل را نتیجه می‌دهد.

قضیه ۱: هر DMU_l ، که توسط فاز دوم مدل تخصیص مت مرکز شعاعی به صورت $(\hat{x}_{l1}, \hat{x}_{l2}, \dots, \hat{x}_{ml}, \hat{y}_{l1}, \hat{y}_{l2}, \dots, \hat{y}_{sl})$ تصویر شده است، پاراتو کارا است.

مدل تحصیل خروجی مت مرکز شعاعی

مدل تحصیل خروجی مت مرکز شعاعی در طی دو فاز به ماکریم‌سازی مجموع تولید خروجی می‌پردازد به‌طوری که مجموع مصرف ورودی افزایش نمی‌یابد. در اولین فاز یک افزایش مناسب برای همه‌ی خروجی‌ها جستجو می‌شود و در فاز دوم کاهش بیشتر هر ورودی و یا افزایش هر خروجی بررسی می‌شود.

مدل فاز اول تحصیل خروجی مت مرکز به صورت زیر ارایه می‌شود:

$$\begin{aligned} \max \quad & \varphi \\ \text{s.t.} \quad & \sum_{l=1}^n \sum_{j=1}^n \lambda_{jl} x_{ij} \leq \sum_{j=1}^n x_{ij}, \quad i = 1, \dots, m \\ & \sum_{l=1}^n \sum_{j=1}^n \lambda_{jl} y_{rj} \geq \varphi \sum_{j=1}^n y_{rj}, \quad r = 1, \dots, s \\ & \sum_{j=1}^n \lambda_{jl} = 1, \quad l = 1, \dots, n \\ & \lambda_{jl} \geq 0, \quad j = 1, \dots, n, l = 1, \dots, n \\ & \varphi \text{ free.} \end{aligned} \tag{۳}$$

که در آن φ^* عامل افزایش شعاعی دست یافتنی برای خروجی‌ها است. فرض کنیم φ^* مقدار بهینه‌ی مدل (۳) باشد، در این صورت مدل فاز دوم تحصیل خروجی متumerکز به صورت زیر پیشنهاد می‌شود:

$$\begin{aligned} \max & \quad \sum_{i=1}^m s_i + \sum_{r=1}^s t_r \\ \text{s.t.} & \quad \sum_{l=1}^n \sum_{j=1}^n \lambda_{jl}^* x_{ij} = \sum_{j=1}^n x_{ij} - s_i, \quad i = 1, \dots, m \\ & \quad \sum_{l=1}^n \sum_{j=1}^n \lambda_{jl}^* y_{rj} = \varphi^* \sum_{j=1}^n y_{rj} + t_r, \quad r = 1, \dots, s \\ & \quad \sum_{j=1}^n \lambda_{jl}^* = 1, \quad l = 1, \dots, n \\ & \quad \lambda_{jl}^* \geq 0, \quad j = 1, \dots, n, l = 1, \dots, n \\ & \quad s_i \geq 0, \quad i = 1, \dots, m \\ & \quad t_r \geq 0, \quad r = 1, \dots, s. \end{aligned} \tag{۴}$$

با حل مدل فاز دوم، بردار $(\lambda_{nl}^*, \lambda_{nl}^*, \dots, \lambda_{nl}^*)$ متناظر با هر DMU_l ، تعریف می‌شود. ورودی‌ها و خروجی‌های واحدهای تصویرشده به صورت زیر محاسبه می‌شوند:

$$\begin{aligned} \hat{x}_{il} &= \sum_{j=1}^n \lambda_{jl}^* x_{ij}, \quad i = 1, \dots, m \\ \hat{y}_{rl} &= \sum_{j=1}^n \lambda_{jl}^* y_{rj}, \quad r = 1, \dots, s. \end{aligned}$$

توجه کنید با مدل‌های پیشنهادی (۳) و (۴) می‌توان ماکریم مجموع تولید خروجی را برای هر یک از خروجی‌های DMU ‌ها، به دست آورد به‌طوری که مجموع مصرف ورودی، برای هر یک از ورودی‌های DMU ‌ها افزایش نیابند.

قضیه ۲: هر DMU_l ، که توسط مدل فاز دوم تحصیل خروجی متumerکز شعاعی به صورت $(\hat{x}_{1l}, \hat{x}_{2l}, \dots, \hat{x}_{ml}, \hat{y}_{1l}, \hat{y}_{2l}, \dots, \hat{y}_{sl})$ تصویر شده است، پاراتو کاراست.

اثبات: فرض کنید (s^*, t^*, λ^*) نقطه‌ی بهینه و $(\hat{x}_{il}, \hat{x}_{rl}, \dots, \hat{x}_{ml}, \hat{y}_{il}, \hat{y}_{rl}, \dots, \hat{y}_{sl})$ نقطه‌ی تصویر l -DMU حاصل از مدل فاز دوم تحصیل خروجی متراکم شعاعی باشند. به خلف فرض کنیم نقطه‌ی $(\hat{x}_{il}, \hat{x}_{rl}, \dots, \hat{x}_{ml}, \hat{y}_{il}, \hat{y}_{rl}, \dots, \hat{y}_{sl})$ پاراتو کارا نباشد، در این صورت با استفاده از مدل BCC ماهیت خروجی، یک بردار $(\lambda_{nl}, \dots, \lambda_{rl}, \lambda_{il})$ که در $\sum_{j=1}^n \lambda_{jl} = 1$ صدق می‌کند، وجود دارد که در یک نقطه تصویر $(\hat{x}_{il}, \dots, \hat{x}_{ml}, \hat{y}_{il}, \dots, \hat{y}_{sl})$ به صورت زیر تعریف می‌شود:

$$\hat{x}_{il} = \sum_{j=1}^n \lambda_{jl} x_{ij} \leq \hat{x}_{ij}, \quad i = 1, \dots, m \quad (1)$$

$$\hat{y}_{rl} = \sum_{j=1}^n \lambda_{jl} y_{rj} \geq \hat{y}_{rj}, \quad r = 1, \dots, s \quad (2)$$

از آنجاکه نقطه‌ی $(\hat{x}_{il}, \hat{x}_{rl}, \dots, \hat{x}_{ml}, \hat{y}_{il}, \dots, \hat{y}_{sl})$ پاراتو کارا نیست، در نتیجه نامساوی‌های بالا برای حداقل یکی از ورودی‌ها و یا یکی از خروجی‌ها به صورت اکید برقرار هستند. فرض کنید نامساوی (2) در اندیس r' به صورت اکید برقرار باشد:

$$\hat{y}_{rl} < \sum_{j=1}^n \lambda_{jl} y_{rj} > \hat{y}_{r'}$$

در نتیجه:

$$\sum_{r=1}^s (\hat{y}_{rl} - \hat{y}_{r'}) > 0$$

در این صورت، با در نظر گرفتن l -DMU، بردار $(\lambda_{nl}, \dots, \lambda_{rl}, \lambda_{il})$ به جای بهینه‌ی فرض شده $(\lambda_{nl}^*, \lambda_{rl}^*, \lambda_{il}^*)$ ، یک جواب شدنی برای مدل فاز دوم تحصیل خروجی متراکم شعاعی با داشتن مقدار تابع هدف

$$\sum_{i=1}^m s_i^* + \sum_{r=1}^s t_r^* = \sum_{i=1}^m s_i^* + \sum_{r=1}^s t_r^* + \sum_{i=1}^m (\hat{x}_{il} - \hat{x}_{il}) + \sum_{r=1}^s (\hat{y}_{rl} - \hat{y}_{rl})$$

است. در نتیجه

$$\sum_{i=1}^m \hat{s}_i^* + \sum_{r=1}^s \hat{t}_r^* > \sum_{i=1}^m s_i^* + \sum_{r=1}^s t_r^*$$

با توجه به اینکه این مقدار از مقدار بهینه‌ی اولیه بیشتر است به تناقض می‌رسیم. به طور مشابه اگر نامساوی (۱) در اندیس i' به صورت اکید برقرار باشد، داریم:

$$\hat{x}_{i'l} = \sum_{j=1}^n \lambda_{jl} x_{ij} < \hat{x}_{i'j}$$

و نتیجه‌ی یکسانی به دست می‌آید.

قضیه ۳: مدل (۳) همواره شدنی است.

اثبات: قرار دهید:

$$\varphi = 1, \quad \begin{cases} \lambda_{jl} = 1, & l = i \\ \lambda_{jl} = 0, & l \neq i \end{cases}$$

بهوضوح (φ, λ) یک جواب شدنی مدل (۳) است.

قضیه ۴: مدل (۳) نسبت به انتقال ورودی‌ها پایدار است.

اثبات: فرض کنیم ورودی α_i های DMU باهندگی α_i افزایش یابند. در این صورت باید رابطه‌ی $\tilde{x}_{ij} = x_{ij} + \alpha_i$ $i = 1, \dots, m$ را در مدل (۳) اعمال کنیم. در نتیجه محدودیت‌های ورودی را به صورت زیر داریم:

$$\begin{aligned} \sum_{l=1}^n \sum_{j=1}^n \lambda_{jl} (x_{ij} + \alpha_i) &\leq \sum_{j=1}^n (x_{ij} + \alpha_i), \quad i = 1, \dots, m \\ \Rightarrow \sum_{l=1}^n \sum_{j=1}^n \lambda_{jl} x_{ij} + n\alpha_i &\leq \sum_{j=1}^n x_{ij} + n\alpha_i \Rightarrow \sum_{l=1}^n \sum_{j=1}^n \lambda_{jl} x_{ij} \leq \sum_{j=1}^n x_{ij}, \quad i = 1, \dots, m \end{aligned}$$

همان طور که مشاهده می‌شود با انتقال ورودی‌ها به اندازه‌ی α_i ، محدودیت‌های مدل (۳) برقرار هستند؛ بنابراین مدل (۳) نسبت به انتقال ورودی‌ها پایدار است.

قضیه ۵. مدل (۳) نسبت به انتقال خروجی‌ها پایدار نیست.

اثبات: فرض کنیم، خروجی r ام همه‌ی DMU ها به اندازه‌ی β_r افزایش یابند. در این صورت رابطه‌ی $\tilde{y}_{rj} = y_{rj} + \beta_r$ $r = 1, \dots, s$ را در مدل (۳) اعمال می‌کنیم:

مشابه اثبات قضیه‌ی ۴ با اعمال رابطه‌ی بالا در محدودیت‌های مدل (۳)، مشاهده می‌شود، مدل (۳) نسبت به انتقال خروجی‌ها به اندازه‌ی β_r ، پایدار نیست.

قضیه ۶. مدل (۳) نسبت به واحد پایدار است.

اثبات: فرض کنیم ورودی i ام و خروجی r ام هر DMU را به ترتیب در α_i و β_r ضرب کنیم.

$$\tilde{x}_{ij} = \alpha_i x_{ij} \quad i = 1, \dots, m, \quad \tilde{y}_{rj} = \beta_r y_{rj} \quad r = 1, \dots, s$$

با قراردادن روابط بالا در مدل (۳)، مدل جدید را به صورت زیر داریم:

$$\begin{aligned} \max \quad & \varphi \\ \text{s.t.} \quad & \sum_{l=1}^n \sum_{j=1}^n \lambda_{jl} (\alpha_i x_{ij}) \leq \sum_{j=1}^n (\alpha_i x_{ij}), \quad i = 1, \dots, m \\ & \sum_{l=1}^n \sum_{j=1}^n \lambda_{jl} (\beta_r y_{rj}) \geq \varphi \sum_{j=1}^n (\beta_r y_{rj}), \quad r = 1, \dots, s \\ & \sum_{j=1}^n \lambda_{jl} = 1, \quad l = 1, \dots, n \\ & \lambda_{jl} \geq 0, \quad j = 1, \dots, n, l = 1, \dots, n \\ & \varphi \text{ free}. \end{aligned}$$

حال محدودیت‌های ورودی و خروجی را بررسی می‌کنیم:

$$\begin{aligned} & \sum_{l=1}^n \sum_{j=1}^n \lambda_{jl} (\alpha_i x_{ij}) \leq \sum_{j=1}^n (\alpha_i x_{ij}), \quad i = 1, \dots, m \\ \Rightarrow & \sum_{l=1}^n \sum_{j=1}^n \lambda_{jl} x_{ij} \leq \sum_{j=1}^n x_{ij}, \quad i = 1, \dots, m. \\ & \sum_{l=1}^n \sum_{j=1}^n \lambda_{jl} (\beta_r y_{rj}) \geq \varphi \sum_{j=1}^n (\beta_r y_{rj}), \quad r = 1, \dots, s \\ \Rightarrow & \sum_{l=1}^n \sum_{j=1}^n \lambda_{jl} y_{rj} \geq \varphi \sum_{j=1}^n y_{rj}, \quad r = 1, \dots, s. \end{aligned}$$

همان‌طور که ملاحظه می‌شود مدل جدید با مدل (۳) معادل است. بنابراین، مقدار کارایی در هر دو مدل یکسان و مدل (۳) نسبت به واحد پایدار است.

اگر ورودی α و خروجی β ام همهی DMU‌ها را به ترتیب در α و β ضرب کنیم و مدل (۳) را برای این داده‌های جدید به کار ببریم، نتایج به دست آمده نشان می‌دهند، ممکن است نقطه‌ی تصویر متفاوتی، نسبت به داده‌های اولیه، برای هر یک از DMU‌ها داشته باشیم ولی مجموع مصرف ورودی و مجموع تولید خروجی به دست آمده از مدل (۳) برای داده‌های اولیه و داده‌های جدید یکسان هستند.

مدل تحصیل خروجی متمرکز غیرشعاعی

در این بخش مدل تحصیل خروجی متمرکز غیرشعاعی ارایه می‌شود که این مدل نیز دو فاز دارد. مدل فاز اول، یک ضریب کاهشی متفاوت را برای هر خروجی بررسی می‌کند. کاهش غیرشعاعی خروجی‌ها، به مجموع مقادیر خروجی‌ها اشاره می‌کند و تصویر واحدهای موجود را بروی مرز کارا نتیجه می‌دهد.

فرض کنید φ_r عامل افزایش برای مجموع تولید خروجی r ام باشد. مدل فاز اول تحصیل خروجی متمرکز / غیرشعاعی به صورت زیر ارایه می‌شود:

$$\begin{aligned} \max \quad & \sum_{r=1}^s \varphi_r \\ \text{s.t.} \quad & \sum_{l=1}^n \sum_{j=1}^n \lambda_{jl} x_{ij} \leq \sum_{j=1}^n x_{ij}, \quad i = 1, \dots, m \\ & \sum_{l=1}^n \sum_{j=1}^n \lambda_{jl} y_{rj} \geq \varphi_r \sum_{j=1}^n y_{rj}, \quad r = 1, \dots, s \\ & \sum_{j=1}^n \lambda_{jl} = 1, \quad l = 1, \dots, n \\ & \lambda_{jl} \geq 0, \quad j = 1, \dots, n, l = 1, \dots, n \\ & \varphi_r \text{ free}, \quad r = 1, \dots, s. \end{aligned} \tag{5}$$

مدل (۵)، دارای $n+1$ متغیر و $m+s+n$ محدودیت است. فرض کنید φ_r^* مقدار بهینه‌ی φ_r در مدل (۵) باشد، در این صورت مدل فاز دوم تحصیل خروجی متمرکز / غیرشعاعی به صورت زیر پیشنهاد می‌شود:

$$\begin{aligned}
 \max \quad & \sum_{i=1}^m s_i \\
 \text{s.t.} \quad & \sum_{l=1}^n \sum_{j=1}^n \lambda_{jl} x_{ij} = \sum_{j=1}^n x_{ij} - s_i, \quad i = 1, \dots, m \\
 & \sum_{l=1}^n \sum_{j=1}^n \lambda_{jl} y_{rj} = \varphi_r^* \sum_{j=1}^n y_{rj}, \quad r = 1, \dots, s \\
 & \sum_{j=1}^n \lambda_{jl} = 1, \quad l = 1, \dots, n \\
 & \lambda_{jl} \geq 0, \quad j = 1, \dots, n, l = 1, \dots, n \\
 & s_i \geq 0, \quad i = 1, \dots, m.
 \end{aligned} \tag{6}$$

توجه کنید در این مدل متغیر کمکی خروجی مورد نیاز نیست؛ زیرا مدل فاز اول ماکریم افزایش را برای مقادیر خروجی دارد. زمانی که مدل فاز دوم حل می‌شود، بردار $(\lambda_1^*, \lambda_{2l}^*, \dots, \lambda_{nl}^*)$ متناظر با هر DMU_l ، تعریف می‌شود. ورودی‌ها و خروجی‌ها برای این نقاط به صورت زیر محاسبه می‌شوند:

$$\tilde{x}_{il} = \sum_{j=1}^n \lambda_{jl}^* x_{ij}, \quad i = 1, \dots, m$$

$$\tilde{y}_{rl} = \sum_{j=1}^n \lambda_{jl}^* y_{rj}, \quad r = 1, \dots, s.$$

قضیه ۷. برای هر DMU_l که توسط مدل فاز دوم تحصیل خروجی متمرکز / غیرشعاعی که به صورت $(\tilde{x}_{1l}, \tilde{x}_{2l}, \dots, \tilde{x}_{ml}, \tilde{y}_{1l}, \tilde{y}_{2l}, \dots, \tilde{y}_{sl})$ تصویر شده، پاراتو کارا است.

ایبات: فرض کنید (s^*, t^*, λ^*) نقطه‌ی بهینه و $(\tilde{x}_{1l}, \tilde{x}_{2l}, \dots, \tilde{x}_{ml}, \tilde{y}_{1l}, \tilde{y}_{2l}, \dots, \tilde{y}_{sl})$ نقطه‌ی تصویر DMU_l حاصل از مدل فاز دوم تحصیل خروجی متمرکز غیرشعاعی باشد. به خلف فرض کنیم واحد $(\tilde{y}_{sl}, \tilde{x}_{1l}, \tilde{x}_{2l}, \dots, \tilde{x}_{ml}, \tilde{y}_{1l}, \tilde{y}_{2l}, \dots, \tilde{y}_{sl})$ پاراتو کارا نباشد در این صورت با استفاده از مدل BCC ماهیت خروجی بردار $(\lambda_1, \lambda_{2l}, \dots, \lambda_{nl})$ که در $\sum_{j=1}^n \lambda_{jl} = 1$ صدق می‌کند، وجود دارد که در یک نقطه‌ی تصویر $(\tilde{\tilde{x}}_{1l}, \dots, \tilde{\tilde{x}}_{ml}, \tilde{\tilde{y}}_{1l}, \dots, \tilde{\tilde{y}}_{sl})$ به صورت زیر تعریف می‌شود:

$$\tilde{x}_{il} = \sum_{j=1}^n \lambda_{jl} x_{ij} \leq \tilde{x}_{ij}, \quad i = 1, \dots, m \quad (1)$$

$$\tilde{y}_{rl} = \sum_{j=1}^n \lambda_{jl} y_{rj} \geq \tilde{y}_{rj}, \quad r = 1, \dots, s \quad (2)$$

از آنجاکه نقطه‌ی $(\tilde{x}_{1l}, \dots, \tilde{x}_{ml}, \tilde{y}_{1l}, \dots, \tilde{y}_{sl})$ پاراتو کارا نیست، در نتیجه نامساوی‌های بالا برای حداقل یکی از ورودی‌ها به صورت اکید برقرار است. فرض کنید، نامساوی (۱) در اندیس i' به صورت اکید برقرار باشد:

$$\tilde{x}_{i'l} = \sum_{j=1}^n \lambda_{jl} x_{ij} < \tilde{x}_{i'l}$$

در نتیجه:

$$\sum_{i=1}^m (\tilde{x}_{i'l} - \tilde{x}_{i'l}) > 0$$

در این صورت، با در نظر گرفتن DMU_l ، بردار $(\lambda_{1l}, \lambda_{2l}, \dots, \lambda_{nl})$ به جای بهینه‌ی فرض شده $(\lambda_{1l}^*, \lambda_{2l}^*, \dots, \lambda_{nl}^*)$ ، منجر به یک جواب شدنی برای مدل فاز دوم تحصیل خروجی متمرکز غیرشعاعی با داشتن مقدار تابع هدف $\sum_{i=1}^m s_i^* + \sum_{i=1}^m (\tilde{x}_{il} - \tilde{x}_{i'l}) > \sum_{i=1}^m s_i^*$ است که این مقدار بیشتر از مقدار بهینه‌ی اولیه است و به تناقض منجر می‌شود.

سپس جواب بهینه‌ی مدل فاز دوم تحصیل خروجی متمرکز غیرشعاعی مربوط به DMU_l با بردار $(\lambda_{1l}, \lambda_{2l}, \dots, \lambda_{nl})$ به جای بهینه‌ی فرض شده را، بررسی می‌کنیم و مقادیر زیر را داریم:

$$\varphi_{r'} = \frac{\sum_{\substack{j=1 \\ j \neq l}}^n \tilde{y}_{r'j} + \tilde{y}_{r'l}}{\sum_{j=1}^n y_{r'j}} > \frac{\sum_{j=1}^n \tilde{y}_{r'j}}{\sum_{j=1}^n y_{r'j}} = \varphi_{r'}^*,$$

$$\varphi_r = \frac{\sum_{\substack{j=1 \\ j \neq l}}^n \tilde{y}_{rj} + \tilde{y}_{rl}}{\sum_{j=1}^n y_{rj}} \geq \frac{\sum_{j=1}^n \tilde{y}_{rj}}{\sum_{j=1}^n y_{rj}} = \varphi_r^*, \quad \forall r \neq r'.$$

در نتیجه می‌توانیم یک جواب شدنی از مدل فاز دوم تحصیل خروجی متمرکز غیرشعاعی با مقدار تابع هدف بیشتر نسبت به مقدار بهینه‌ی آن داشته باشیم و این تنافق است.

مدل تحصیل خروجی متمرکز و تخصیص ورودی متمرکز شعاعی

در این بخش مدلی ارایه می‌شود که در آن به‌طور همزمان هدف، کاهش مجموع مصرف ورودی و افزایش مجموع تولید خروجی برای همه‌ی DMU‌ها به یک میزان است. مدل فاز اول تحصیل خروجی متمرکز و تخصیص ورودی متمرکز شعاعی به صورت زیر ارایه می‌شود:

$$\begin{aligned} \min \quad & \alpha\theta - \beta\varphi \\ \text{s.t.} \quad & \sum_{l=1}^n \sum_{j=1}^n \lambda_{jl} x_{ij} \leq \theta \sum_{j=1}^n x_{ij}, \quad i = 1, \dots, m \\ & \sum_{l=1}^n \sum_{j=1}^n \lambda_{jl} y_{rj} \geq \varphi \sum_{j=1}^n y_{rj}, \quad r = 1, \dots, s \\ & \sum_{j=1}^n \lambda_{jl} = 1, \quad l = 1, \dots, n \\ & \theta \leq 1, \\ & \lambda_{jl} \geq 0, \quad j = 1, \dots, n, l = 1, \dots, n \\ & \theta \text{ free} \\ & \varphi \text{ free.} \end{aligned} \tag{7}$$

که در آن α و β ضرایب کاهش و افزایش به ترتیب برای کاهش ورودی و افزایش خروجی هستند که توسط کاربر انتخاب می‌شوند.

مدل (7)، دارای $n^2 + 2m + s + n + 1$ متغیر و $m + s + n + 1$ محدودیت است. در مدل متمرکز این امکان وجود دارد که همه‌ی ورودی‌ها و خروجی‌های هر یک از DMU‌ها به یک تصویر بهینه تنظیم شوند که لزوماً یک نقطه‌ی اکیداً غالب بر آن DMU نیستند. از آنجاکه در مدل (7) هدف مینیمم کردن مجموع مصرف ورودی و ماکزیمم کردن تولید خروجی است، در نتیجه برای یک DMU در هنگام تصویر کردن، می‌توان افزایش در ورودی آن را داشت و این در حالی است که DMU‌های دیگر باید جبران این افزایش را انجام دهند تا در بهینگی مجموع مصرف ورودی کاهش یابد. این شرایط برای خروجی‌ها هم، به‌طور مشابه برقرار

است. در نتیجه با قرار دادن قید $1 \leq \theta$ در مدل (۷) می‌توان در نتایج به‌دست آمده، به شرایط بهتری دست یافت. برای برخی ورودی‌ها یا خروجی‌ها، معمولاً کاهش یا افزایش بیشتر امکان پذیر است که این مقادیر در متغیرهای کمکی با حل مدل فاز دوم تحصیل خروجی متمرکز و تخصیص ورودی متمرکز شعاعی که به‌صورت زیر است، به‌دست می‌آیند:

$$\begin{aligned} \max \quad & \sum_{i=1}^m s_i + \sum_{r=1}^s t_r \\ \text{s.t.} \quad & \sum_{l=1}^n \sum_{j=1}^n \lambda_{jl}^* x_{ij} = \theta^* \sum_{j=1}^n x_{ij} - s_i, \quad i = 1, \dots, m \\ & \sum_{l=1}^n \sum_{j=1}^n \lambda_{jl}^* y_{rj} = \varphi^* \sum_{j=1}^n y_{rj} + t_r, \quad r = 1, \dots, s \\ & \sum_{j=1}^n \lambda_{jl}^* = 1, \quad l = 1, \dots, n \\ & \lambda_{jl}^* \geq 0, \quad j = 1, \dots, n, l = 1, \dots, n \\ & s_i \geq 0, \quad i = 1, \dots, m \\ & t_r \geq 0, \quad r = 1, \dots, s. \end{aligned} \tag{۸}$$

با حل مدل (۸)، بردار $(\lambda_{1l}^*, \lambda_{2l}^*, \dots, \lambda_{nl}^*)$ متناظر با هر l DMU، تعریف می‌شود. ورودی‌ها و خروجی‌ها برای چنین واحدهایی به‌صورت زیر محاسبه می‌شوند:

$$\hat{x}_{il} = \sum_{j=1}^n \lambda_{jl}^* x_{ij}, \quad i = 1, \dots, m$$

$$\hat{y}_{rl} = \sum_{j=1}^n \lambda_{jl}^* y_{rj}, \quad r = 1, \dots, s.$$

با توجه به قضیه ۲ به سادگی می‌توان نشان داد، نقطه‌ی تصویر حاصل از مدل تحصیل خروجی متمرکز و تخصیص ورودی متمرکز شعاعی پاراتو کارا است.

مدل تحصیل خروجی متمرکز و تخصیص ورودی متمرکز غیرشعاعی

در این بخش مدل (۷) را در فرم غیرشعاعی مطرح می‌کنیم. در این مدل به منظور بهینه‌سازی مجموع مصرف ورودی و مجموع تولید خروجی همهی DMU‌ها به طور همزمان، کاهش و افزایش جداگانه‌ای را در ورودی و خروجی هر DMU داریم. فرض کنید θ_i عامل کاهش برای مجموع مصرف ورودی i و φ_r عامل افزایش خروجی r باشند. همچنین α_i و β_r ضرایب کاهش و افزایش به ترتیب برای کاهش ورودی و افزایش خروجی هستند که توسط کاربر انتخاب می‌شوند. مدل تحصیل خروجی متمرکز و تخصیص ورودی متمرکز غیرشعاعی به صورت زیر بیان می‌شود:

$$\begin{aligned} \max \quad & \alpha_i \sum_{i=1}^m \theta_i - \beta_r \sum_{r=1}^s \varphi_r \\ \text{s.t.} \quad & \sum_{l=1}^n \sum_{j=1}^n \lambda_{jl} x_{ij} \leq \theta_i \sum_{j=1}^n x_{ij}, \quad i = 1, \dots, m \\ & \sum_{l=1}^n \sum_{j=1}^n \lambda_{jl} y_{rj} \geq \varphi_r \sum_{j=1}^n y_{rj}, \quad r = 1, \dots, s \\ & \sum_{j=1}^n \lambda_{jl} = 1, \quad l = 1, \dots, n \\ & \theta_i \leq 1, \quad i = 1, \dots, m \\ & \lambda_{jl} \geq 0, \quad j = 1, \dots, n, l = 1, \dots, n \\ & \theta_i \text{ free}, \quad i = 1, \dots, m \\ & \varphi_r \text{ free}, \quad r = 1, \dots, s. \end{aligned} \tag{۹}$$

توجه کنید در این مدل نیازی به حل مدل فاز دوم برای یافتن مقدار کاهش بیشتر در ورودی‌ها یا افزایش بیشتر در خروجی‌ها نیست؛ زیرا مدل (۹) ماکزیمم کاهش را برای مقادیر ورودی و ماکزیمم افزایش را برای مقادیر خروجی دارد.

با حل مدل (۹)، بردار $(\lambda_{nl}^*, \lambda_{rl}^*, \dots, \lambda_{1l}^*)$ متناظر با هر l DMU، واحد فعال مورد هدف، تعریف می‌شود. ورودی‌ها و خروجی‌ها برای این نقاط به صورت زیر محاسبه می‌شوند:

$$\tilde{x}_{il} = \sum_{j=1}^n \lambda_{jl}^* x_{ij}, \quad i = 1, \dots, m$$

$$\tilde{y}_{rl} = \sum_{j=1}^n \lambda_{jl}^* y_{rj}, \quad r = 1, \dots, s.$$

قضیه ۹. برای هر DMU_l که توسط مدل تحصیل خروجی متمرکز و تخصیص ورودی متمرکز غیرشعاعی که به صورت $(\tilde{x}_{il}, \tilde{x}_{ml}, \tilde{y}_{vl}, \tilde{y}_{rl}, \dots, \tilde{y}_{sl})$ تصویر شده، پاراتو کارا است.

اثبات: به خلف فرض کنید $(\tilde{x}_{il}, \tilde{x}_{ml}, \tilde{y}_{vl}, \tilde{y}_{rl}, \dots, \tilde{y}_{sl})$ نقطه‌ی تصویر DMU_l حاصل از مدل تحصیل خروجی متمرکز و تخصیص ورودی متمرکز غیرشعاعی پاراتو کارا نباشد؛ در این صورت با استفاده از مدل BCC بردار $(\lambda_{nl}, \lambda_{l}, \lambda_{ml}, \dots, \lambda_{rl})$ که در $\sum_{j=1}^n \lambda_{jl} = 1$ صدق می‌کند، وجود دارد که در یک نقطه‌ی تصویر $(\tilde{\tilde{x}}_{il}, \dots, \tilde{\tilde{x}}_{ml}, \tilde{\tilde{y}}_{vl}, \dots, \tilde{\tilde{y}}_{sl})$ به صورت زیر تعریف می‌شود:

$$\tilde{\tilde{x}}_{il} = \sum_{j=1}^n \lambda_{jl} x_{ij} \leq \tilde{x}_{ij}, \quad i = 1, \dots, m \quad (1)$$

$$\tilde{\tilde{y}}_{rl} = \sum_{j=1}^n \lambda_{jl} y_{rj} \geq \tilde{y}_{rj}, \quad r = 1, \dots, s \quad (2)$$

از آنجاکه نقطه $(\tilde{\tilde{x}}_{il}, \dots, \tilde{\tilde{x}}_{ml}, \tilde{\tilde{y}}_{vl}, \dots, \tilde{\tilde{y}}_{sl})$ پاراتو کارا نیست، در نتیجه نامساوی‌های بالا برای حداقل یکی از ورودی‌ها و یا خروجی‌ها به صورت اکید برقرار است. حال فرض کنید نامساوی (1) در اندیس i' و نامساوی (2) در اندیس r' به صورت اکید برقرار باشند:

$$\tilde{\tilde{x}}_{i'l} = \sum_{j=1}^n \lambda_{jl} x_{ij} < \tilde{x}_{i'l}$$

$$\tilde{\tilde{y}}_{r'l} = \sum_{j=1}^n \lambda_{jl} y_{rj} > \tilde{y}_{r'l}$$

در نتیجه‌ی روابط زیر را داریم:

$$\left\{ \begin{array}{l} \theta_{i'} = \frac{\sum\limits_{j=1}^n \tilde{x}_{ij} + \tilde{x}_{i'l}}{\sum\limits_{j=1}^n x_{i'j}} < \frac{\sum\limits_{l=1}^n \tilde{x}_{i'l}}{\sum\limits_{j=1}^n x_{i'j}} = \theta_{i'}^*, \\ \theta_i = \frac{\sum\limits_{j=1}^n \tilde{x}_{ij} + \tilde{x}_{il}}{\sum\limits_{j=1}^n x_{ij}} \leq \frac{\sum\limits_{l=1}^n \tilde{x}_{il}}{\sum\limits_{j=1}^n x_{ij}} = \theta_i^*, \quad \forall i \neq i' \end{array} \right. \Rightarrow \sum\limits_{i=1}^m \theta_i < \sum\limits_{i=1}^m \theta_i^* \quad (3)$$

$$\left\{ \begin{array}{l} \varphi_{r'} = \frac{\sum\limits_{j=1}^n \tilde{y}_{r'j} + \tilde{y}_{r'l}}{\sum\limits_{j=1}^n y_{r'j}} > \frac{\sum\limits_{j=1}^n \tilde{y}_{r'j}}{\sum\limits_{j=1}^n y_{r'j}} = \varphi_{r'}^*, \\ \varphi_r = \frac{\sum\limits_{j=1}^n \tilde{y}_{rj} + \tilde{y}_{rl}}{\sum\limits_{j=1}^n y_{rj}} \geq \frac{\sum\limits_{j=1}^n \tilde{y}_{rj}}{\sum\limits_{j=1}^n y_{rj}} = \varphi_r^*, \quad \forall r \neq r' \end{array} \right. \Rightarrow \sum\limits_{r=1}^s \varphi_r > \sum\limits_{r=1}^s \varphi_r^* \quad (4)$$

با توجه به نامساوی‌های (۳) و (۴) داریم:

$$\sum\limits_{i=1}^m \theta_i - \sum\limits_{r=1}^s \varphi_r < \sum\limits_{i=1}^m \theta_i^* - \sum\limits_{r=1}^s \varphi_r^*$$

در نتیجه یک جواب شدنی از مدل تحصیل خروجی متراکم و تخصیص ورودی متراکم غیرشعاعی با مقدار تابع هدف بیشتر نسبت به مقدار بهینه‌ی آن به دست آمد و به تنافض می‌رسیم.

مثال‌های عددی

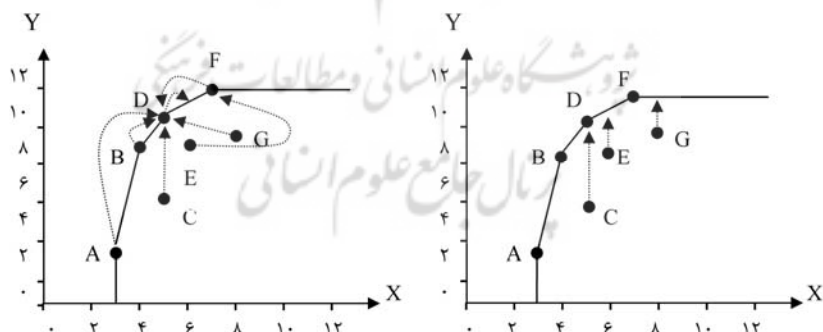
در این قسمت مدل‌های ارایه شده بر روی سه مجموعه‌ی داده‌ها با تعداد ورودی و خروجی‌های مختلف به کار گرفته می‌شوند. ابتدا مثالی با یک ورودی و یک خروجی بررسی می‌شود. برای داده‌های جدول (۱) مدل‌های شعاعی و غیرشعاعی بر هم منطبق

هستند. مدل BCC ماهیت خروجی و مدل تحصیل خروجی متمن کز برای این داده ها به کار برد همی شوند. نتایج را در جدول (۱) با استفاده از نرم افزار WINQSB مشاهده می کنید.

جدول ۱. داده های مثال یک ورودی و یک خروجی و نتایج مدل های BCC ماهیت خروجی و مدل تحصیل خروجی متمن کز برای این داده ها

DMU	داده ها		مدل BCC ماهیت خروجی		مدل تحصیل خروجی	
	x	y	x^*	y^*	$\hat{x} = \tilde{x}$	$\hat{y} = \tilde{y}$
A	۳	۳	۳	۳	۵	۱۰
B	۴	۸	۴	۸	۵	۱۰
C	۵	۵	۵	۱۰	۵	۱۰
D	۵	۱۰	۵	۱۰	۶	۱۰/۵
E	۶	۸	۶	۱۰/۵	۷	۱۱
F	۷	۱۱	۷	۱۱	۵	۱۰
G	۸	۹	۸	۱۱	۵	۱۰
مجموع	۳۸	۵۴	۳۸	۶۳/۵	۳۸	۷۱/۵

همان طور که در جدول (۱) واضح است با استفاده از مدل تحصیل خروجی متمن کز، افزایش خروجی بیشتری نسبت به مدل BCC-O به دست می آید.



ب: تصویر DMU ها حاصل از مدل تحصیل خروجی متمن کز

الف: تصویر DMU ها حاصل از مدل BCC-O

نمودار ۱. تصویر DMU های حاصل از مدل BCC-O و مدل تحصیل خروجی متمن کز

نمودار (۱) نشان می‌دهد، در مدل تحصیل خروجی متمرکز، DMU‌ها بر خلاف مدل BCC-O، تنها در راستای محور خروجی تصویر نمی‌شوند و ورودی و خروجی تصویر هر یک از DMU‌ها می‌توانند افزایش و یا کاهش یابند. به عنوان نمونه، DMU_B یک کارا است و در نتیجه بر روی مرز کارا قرار دارد. با استفاده از مدل BCC ماهیت خروجی در ورودی و خروجی تصویر این DMU تغییری حاصل نمی‌شود؛ ولی نتایج مدل تحصیل خروجی متمرکز برای این DMU نشان می‌دهد که ورودی و خروجی تصویر این DMU هر دو افزایش می‌یابند. این مطلب هدف اصلی مدل تحصیل خروجی متمرکز را در بهینه‌سازی مجموع تولید خروجی نشان می‌دهد.

در ادامه مثالی با یک ورودی و دو خروجی بررسی می‌شود. برای داده‌های جدول (۲) ابتدا مدل BCC-O و سپس مدل‌های تحصیل خروجی متمرکز شعاعی و غیرشعاعی استفاده می‌شود. نتایج این مدل‌ها با استفاده از نرم‌افزار WINQSB در جدول (۲) مشاهده می‌شوند.

جدول ۲. داده‌های مثال یک ورودی و دو خروجی، و نتایج مدل‌های BCC-O و مدل تحصیل خروجی متمرکز (شعاعی و غیرشعاعی) برای این مثال

DMU	داده‌ها			مدل BCC ماهیت خروجی			مدل تحصیل خروجی متمرکز شعاعی			مدل تحصیل خروجی متمرکز غیرشعاعی		
	x	y ₁	y ₂	x [*]	y ₁ [*]	y ₂ [*]	\hat{x}	\hat{y}_1	\hat{y}_2	\tilde{x}	\tilde{y}_1	\tilde{y}_2
A	1	1	5	1	2	7	1	4	6	1	5	5
B	1	2	7	1	2	7	1	4	6	1	5	5
C	1	3	4	1	4/28	5/71	1	5	5	1	5	5
D	1	4	3	1	5/33	4	1	4/70	5/29	1	5	5
E	1	4	6	1	4	6	1	4	6	1	5	5
F	1	5	5	1	5	5	1	4	6	1	5	5
G	1	6	2	1	6	2	1	5	5	1	5	5
مجموع	7	25	32	7	28/61	36/71	7	30/70	39/29	7	35	35

همان‌طور که انتظار داریم، در مدل‌های متمرکز مجموع تولید هر دو خروجی بیشتر از مدل BCC-O افزایش می‌یابند. همچنین در مدل متمرکز غیرشعاعی به نسبت مدل شعاعی نتیجه‌ی تعادل بهتری در افزایش مجموع خروجی‌ها به دست می‌آید.

در انتها مثالی با دو ورودی و دو خروجی مورد بررسی قرار می‌گیرد. ورودی‌ها و خروجی‌های این مثال در جدول (۳) مشاهده می‌شوند.

جدول ۳. داده‌های مثال دو ورودی و دو خروجی

DMU	x_1	x_2	y_1	y_2
۱	۹	۹	۲	۱
۲	۱۲	۸	۳	۱
۳	۷	۱۲	۲	۲
۴	۶	۱۰	۵	۳
۵	۱۰	۵	۴	۴
۶	۸	۱۰	۳	۳
۷	۱۲	۱۰	۶	۶
۸	۱۴	۶	۸	۲
۹	۱۲	۱۲	۱	۶
۱۰	۸	۸	۳	۵
مجموع	۹۸	۹۰	۳۷	۳۳

برای داده‌های جدول (۳) ابتدا مدل تخصیص ورودی متمرکز (مدل (۱)) و مدل تحصیل خروجی متمرکز (مدل (۳)) به کار برد و می‌شود. نتایج در جدول (۴) مشاهده می‌شوند.

جدول ۴. نتایج مدل‌های تخصیص ورودی متمرکز و تحصیل خروجی متمرکز برای مثال دو ورودی و دو خروجی

	مجموع تولید خروجی		مجموع مصرف ورودی	
	خروجی اول	خروجی دوم	ورودی اول	ورودی دوم
مدل تخصیص ورودی متمرکز (مدل (۱))	۴۴/۸۲	۳۵/۱۸	۷۴/۱۲	۸۰/۷۱
مدل تحصیل خروجی متمرکز (مدل (۳))	۴۷/۰۷	۵۲/۸۴	۹۰	۹۸

از آنجاکه در مدل‌های متمرکز، هدف بهینه‌سازی مجموع مصرف ورودی و مجموع تولید خروجی است، در تصویر کردن DMU‌ها به طور همزمان، علاوه بر مینیمم‌سازی

مجموع مصرف ورودی در ماهیت ورودی با این شرط که مجموع تولید خروجی اولیه کاهش نمی‌یابد، مجموع تولید خروجی نیز می‌تواند در بهینگی تغییر کند. همان‌طور که در جدول (۴) واضح است مجموع مصرف ورودی بهتری در مدل تخصیص ورودی متراکم و مجموع تولید خروجی بهتری در مدل تحصیل خروجی متراکم به دست می‌آید. برای این که نتایج بهتری را برای مجموع مصرف ورودی و مجموع تولید خروجی به طور همزمان داشته باشیم، مدل تحصیل خروجی متراکم و تخصیص ورودی متراکم شعاعی را برای داده‌های جدول (۳) با فرض $\alpha = 1, \beta = 0.5$ ، به کار می‌بریم. نتایج مدل تحصیل خروجی متراکم و تخصیص ورودی متراکم شعاعی با استفاده از نرم‌افزار WINQSB در جدول (۵) ملاحظه می‌شوند.

جدول ۵. نتایج مدل تحصیل خروجی متراکم و تخصیص ورودی متراکم شعاعی

DMU	\hat{x}_1	\hat{x}_2	\hat{y}_1	\hat{y}_2	مدل (۷)
۱	۶	۱۰	۵	۳	
۲	۶	۱۰	۵	۳	
۳	۱۰	۵	۴	۴	
۴	۱۰	۵	۴	۴	
۵	۷/۸۲	۷/۷۲	۴/۵۴	۳/۴۵	
۶	۶	۱۰	۵	۳	
۷	۱۲	۱۰	۶	۶	
۸	۷/۲۶	۸/۷۴	۳/۷۴	۴/۲۶	
۹	۱۰	۵	۴	۴	
۱۰	۱۰	۵	۴	۴	
مجموع	۸۵/۰۸	۷۶/۴۶	۴۵/۲۸	۳۸/۷۱	

همان‌طور که در جدول (۵) مشاهده می‌شود، مجموع مصرف ورودی‌ها و مجموع تولید خروجی‌ها به طور همزمان بهینه می‌شوند. حال مدل (۹) را با فرض $\alpha_1 = 1, \alpha_2 = 1, \beta_1 = 0.5, \beta_2 = 0.5$ ، برای جدول (۳) به کار می‌بریم. در جدول (۶) نتایج حاصل با استفاده از نرم‌افزار WINQSB مشاهده می‌شوند.

جدول ۶. نتایج مدل تحصیل خروجی متمرکز و تخصیص ورودی متمرکز غیرشعاعی

DMU	مدل (۹)			
	\tilde{x}_1	\tilde{x}_2	\tilde{y}_1	\tilde{y}_2
۱	۸	۷/۵	۴/۵	۳/۵
۲	۱۰	۵	۴	۴
۳	۱۰	۵	۴	۴
۴	۱۰	۵	۴	۴
۵	۱۰	۵	۴	۴
۶	۱۰	۵	۴	۴
۷	۱۰	۵	۴	۴
۸	۱۰	۵	۴	۴
۹	۱۰	۵	۴	۴
۱۰	۱۰	۵	۴	۴
مجموع	۹۸	۵۲/۵	۴۰/۵	۳۹/۵

جدول (۶) نشان می‌دهد، مدل تحصیل خروجی متمرکز و تخصیص ورودی متمرکز غیرشعاعی می‌تواند کاهش و افزایش مؤثرتری به ترتیب در مجموع مصرف برخی ورودی‌ها و مجموع تولید برخی خروجی‌ها به دست آورد؛ اگرچه ممکن است تا حدی مجموع برخی دیگر از ورودی‌ها را افزایش و مجموع تولید برخی دیگر از خروجی‌ها را کاهش دهد.

نتیجه‌گیری

در این مقاله مدل تحصیل خروجی متمرکز مطرح شد که در این مدل هدف بهینه‌سازی مجموع تولید خروجی است. در این مدل همه‌ی DMU‌ها به طور همزمان بر روی مرز کارا تصویر می‌شوند و با این تضمین که مجموع مصرف ورودی‌ها افزایش نمی‌یابند، تغییرات بر روی مجموع مصرف ورودی‌ها نیز اعمال می‌شوند. از آنجاکه در مدل‌های متداول DEA برای ارزیابی کارایی هر یک از DMU‌ها مدل جداگانه‌ای به کار می‌رود، با استفاده از مدل متمرکز تنها یک مدل برنامه‌ریزی خطی برای بهینه‌سازی مجموع مصرف ورودی‌ها و مجموع تولید خروجی‌های همه‌ی DMU‌ها استفاده شد. همچنین در ادامه، مدل تحصیل خروجی متمرکز و تخصیص ورودی متمرکز بیان شد که با به کار بردن این مدل می‌توان به

نتیجه‌ی تعادل بهتری برای بهینه‌سازی مجموع مصرف ورودی و مجموع تولید خروجی
دست پیدا کرد.



پژوهشگاه علوم انسانی و مطالعات فرهنگی
پرتمال جامع علوم انسانی

منابع

1. Banker RD, Charnes A, Cooper WW (1984). Some models for estimating technical and scale inefficiencies in data envelopment analysis. *Management Science*; 30(9):1078-92.
2. Charnes A, Cooper W.W, Rhodes E (1978). Measuring the efficiency of decision making units. *European Journal of Operational research* 2/6: 429-444.
3. Farrell M.J (1957). The measurement of productive efficiency. *Journal of the Royal Statistical Society, Series A* 120: 253-290.
4. Golany B, E Tamir (1995). Evaluating Efficiency-Effectiveness-Equality Trade-offs: A Data Envelopment analysis Approach .*Management Science* 41(7): 1172-1184
5. Golany, et al (1993). Models for Improved Effectiveness based on DEA Efficiency Results .*IIE Transactions* 25(6): 2-10.
6. Lozano S, Villa G (2004). Centralized resource allocation using data envelopment analysis. *Journal of Productivity Analysis* , 22: 143-61.

پژوهشگاه علوم انسانی و مطالعات فرهنگی
پرستال جامع علوم انسانی